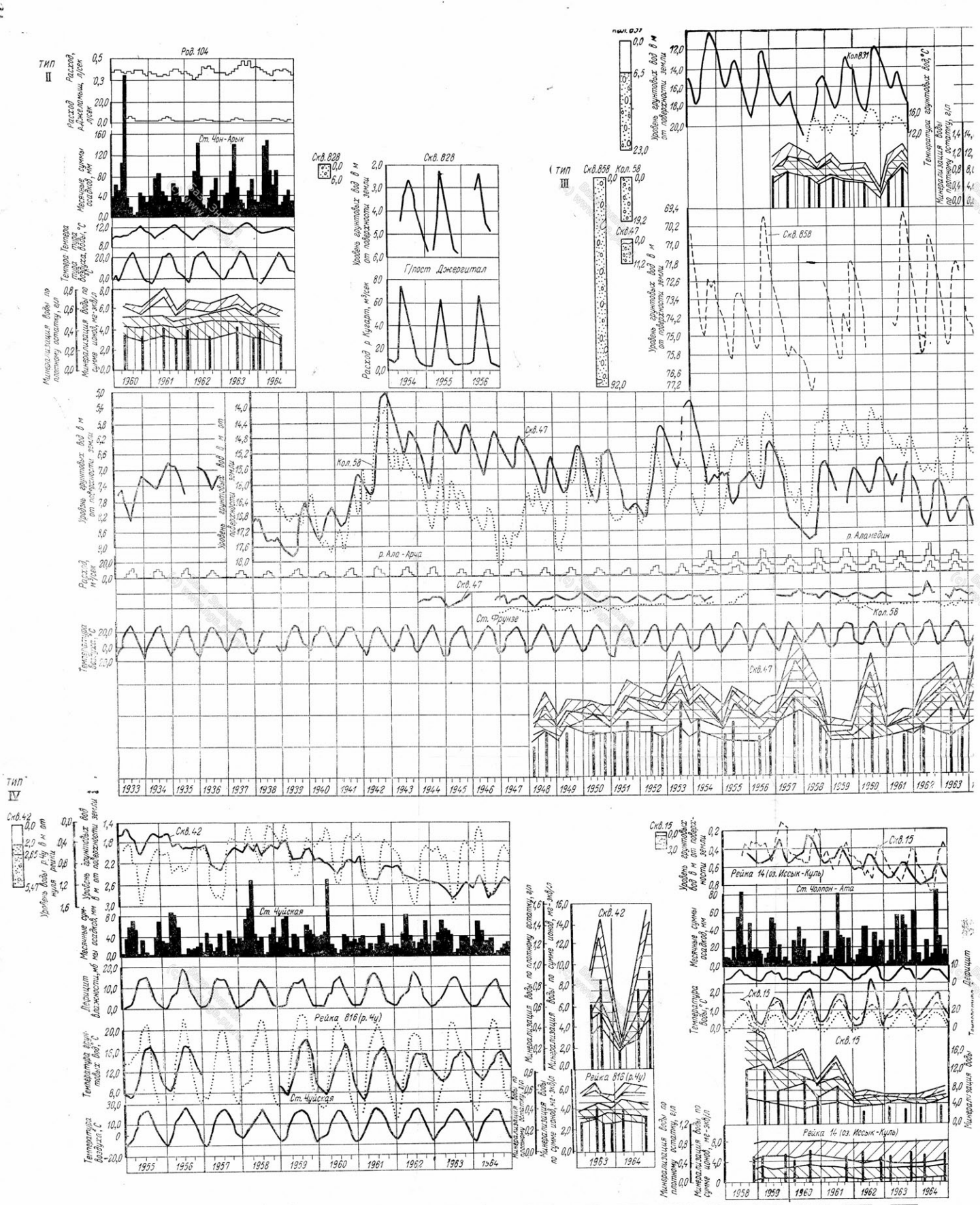

Рис. 15. Графики гидрологического (II), гидролого-гидрогеологического (III) и гидролого-климатического (IV) типов режима подземных вод

II тип: род. 104 — северный склон Киргизского хребта, левый борт долины р. Джеламыш при выходе ее из ущелья, современные аллювиальные отложения; скв. 828 — низовья долины р. Кугарт. III тип: кол. 831 — Кугартская впадина, средняя часть конуса выноса р. Кугарт; скв. 858 — Чуйская впадина, средняя часть слившихся конусов выноса рек Алаарча и Аламедин; скв. 47 — Чуйская впадина, периферия конуса выноса р. Алаарча; кол. 58 — Чуйская впадина, межконусное понижение рек Джеламыш и Алаарча. IV тип: скв. 42, рейка 816 — Чуйская впадина, современная долина р. Чу; скв. 15, рейка 14 — Иссык-Кульская впадина, первая озерная терраса

Среднемесячные значения: *1—3* — уровня грунтовых и пс *4* — расхода грунтовых вод зон открытой трещиноватост пературных графиках) — температуры воздуха, подземных вод; *5* — расхода реки; *6* — месячные суммы осадков; и ческого состава подземных вод: *7* — HCO_3, *8* — SO_4, *11* — плотный остаток; литологический состав пород: *12* песок, *14* — песок иловатый, *15* — галечник, *16* — вал